



## شبیه‌سازی عددی ضربه قوچ ناشی از بستن سریع شیر در سیالات مختلف

رفعت محمدی\*، محمد آقائی

مهندسی مکانیک، دانشگاه اراک، اراک، ایران

تاریخچه داوری:  
دریافت: ۱۳۹۹/۰۴/۰۲  
بازنگری: ۱۳۹۹/۰۷/۱۹  
پذیرش: ۱۳۹۹/۰۸/۲۴  
ارائه آنلاین: ۱۳۹۹/۰۹/۰۷

کلمات کلیدی:  
ضربه قوچ  
جريان گذرا  
جريان تراکم پذیر  
شبیه‌سازی عددی  
امواج فشاری.

**خلاصه:** تغییر ناگهانی شرایط مرزی در خطوط انتقال سیالات مانند باز و بسته شدن شیرها یا قطع و وصل پمپ‌ها باعث ایجاد جریان گذرازی می‌شود که اصطلاحاً ضربه قوچ نام دارد. در این مقاله، ضربه قوچ ناشی از بستن سریع شیر در یک خط لوله با استفاده از حل عددی معادلات پیوستگی و اندازه حرکت شبیه‌سازی شده است. شبیه‌سازی برای یک روغن با لرجت زیاد و برای آب انجام شده که رژیم اولیه در جریان روغن آرام و در جریان آب، آشفته بوده است. نتایج بدست آمده با نتایج آزمایشگاهی مقایسه شده و برای هر دو جریان، تطابق خوبی میان نتایج شبیه‌سازی و آزمایشگاهی در زمان‌های مختلف بدست آمده است. کانتورهای سرعت سیال در زمان‌های مختلف، دو ناحیه با رفتار متفاوت را در جریان گذرا نشان داده است. ناحیه مجاور جداره لوله و ناحیه محور لوله. در ناحیه مجاور لوله تأثیرات لرجت سیال غالب بوده، گردابیان‌های سرعت بزرگتر است و تغییرات سرعت سریعتر رخ می‌دهد. در حالیکه ناحیه محور لوله تحت تأثیر نیروهای اینرسی سیال است. با کاهش لرجت و افزایش عدد رینولدز، ناحیه محور لوله بزرگتر می‌شود. همچنین مطالعه پارامتری انجام شده و تأثیر پارامترهای مختلف بر شدت ضربه قوچ مطالعه شده است. نتایج بدست آمده نشان داده که می‌توان با کاهش ضخامت و طول لوله و یا استفاده از لوله با مدول الاستیسیته کمتر، شدت ضربه قوچ را به میزان قابل توجهی کاهش داد. به طور مثال با کاهش طول لوله از ۱۸ متر به ۶۰ متر، شدت ضربه قوچ ۱۱ درصد کاهش می‌یابد.

## جریان سیال درون خطوط لوله در حضور پدیده ضربه قوچ شناخته

شده و تمہیدات لازم جهت کاهش تأثیرات آن در نظر گرفته شود [۲].

با توجه به تأثیر زیادی که پدیده ضربه قوچ در عملکرد صنایع مختلف دارد، تحقیقات مختلفی در زمینه بررسی این پدیده انجام شده است. ژوکوفسکی یک رابطه ثئوری برای محاسبه تغییرات فشار در اثر تغییرات سرعت جریان گذرا<sup>۱</sup> در خطوط لوله ارائه کرده است که به عنوان معادله ضربه قوچ شناخته می‌شود [۳]:

$$\Delta P = \pm \rho a \Delta V \quad (1)$$

در رابطه فوق  $a$  سرعت انتشار موج،  $\rho$  چگالی سیال،  $\Delta V$  تغییرات سرعت و  $\Delta P$  تغییرات فشار به وجود آمده در اثر ضربه قوچ هستند.

ضربه قوچ از مهم‌ترین پدیده‌های هیدرولیکی است که در صورت وقوع در لوله‌ها و مجاری تحت فشار، باعث بروز مشکلات مختلف در سیستم‌های انتقال سیالات می‌شود. این پدیده زمانی به وجود می‌آید که یک تغییر سرعت ناگهانی، مانند بسته شدن سریع شیرها و یا قطع و وصل ناگهانی پمپ و توربین، در مسیر جریان سیال به وجود آید. تأثیر این تغییر ناگهانی سرعت، به صورت یک موج فشاری در امتداد لوله حرکت نموده و عموماً باعث ایجاد صدای شبیه‌صدا چکش زدن خواهد شد [۱]. در صورتی که در اثر نوسانات فشاری به وجود آمده، فشار از فشار مجاز سیستم فراتر رود، خرابی و آسیب‌های شدید به وجود می‌آید. به همین دلیل لازم است تا رفتار

<sup>۱</sup>Transient Flow

\*نویسنده عهده‌دار مکاتبات: r-mohammadi@araku.ac.ir

حقوق مؤلفین به نویسنده‌گان و حقوق ناشر به انتشارات دانشگاه امیرکبیر داده شده است. این مقاله تحت لیسانس آفرینندگی مردمی (Creative Commons License) در دسترس شما قرار گرفته است. برای جزئیات این لیسانس، از آدرس <https://www.creativecommons.org/licenses/by-nc/4.0/legalcode> دیدن فرمائید.



فشار قوی جنوب شهر مشهد را مورد مطالعه قرار دادند و معادلات حاکم را با روش مشخصه‌ها تحلیل کردند [۱۲]. کنديل<sup>۹</sup> و همکاران با استفاده از روش مشخصه‌ها ضربه قوچ را مدلسازی کرده و تأثیر جنس لوله‌ها بر شدت ضربه قوچ را بررسی کردند و نشان دادند که تحت شرایط یکسان، در مواد با مدول الاستیسیته کمتر امکان وقوع ضربه قوچ کمتر است [۱۳].

در برخی دیگر از تحقیقات در این زمینه، ضربه قوچ با درنظر گرفتن معادلات اصلی حاکم بر جریان سیال (معادلات پیوستگی و ناویراستوکس) و بدون صرف نظر کردن از تأثیرات تنفس برشی گذراي جریان، توسط روش‌های عددی حجم محدود و یا المان محدود شرایطی شده است. فرناندز<sup>۱۰</sup> و همکاران به شبیه‌سازی ضربه قوچ در شبکه‌های لوله با استفاده از روش حجم محدود پرداختند. در این کار، شبیه‌سازی به صورت یک بعدی انجام شده و اعتبارسنجی با استفاده از حل‌های تحلیلی و داده‌های آزمایشگاهی انجام شده است [۱۴] نایک<sup>۱۱</sup> و همکاران به بررسی اثرات ضربه قوچ و پیش‌بینی فشار دینامیکی با استفاده از دینامیک سیالات محاسباتی<sup>۱۲</sup> در حالت دو بعدی پرداختند [۱۵] و انگ<sup>۱۳</sup> و همکاران با استفاده از روشی ترکیبی که از ترکیب روش مشخصه‌ها و روش حجم محدود تشکیل شده است، به شبیه‌سازی گذراي سیستم‌های هیدرولیکی پرداختند. در این حالت روش مشخصه‌ها یک بعدی و روش حجم محدود سه بعدی است و از مزایای هر دو روش استفاده شده است [۱۶].

مروار مطالعات مذکور نشان می‌دهد که به جز تحقیقات آزمایشگاهی در زمینه ضربه قوچ [۴-۶]، مطالعات دیگر به شکل تحلیلی و یا عددی انجام می‌شوند. با توجه به پیچیدگی پدیده ضربه قوچ که یک جریان تراکم پذیر و گذرا با تغییرات بسیار سریع<sup>۱۴</sup> و فرکانس بالاست، در بسیاری از این تحقیقات فرضیات ساده‌کننده‌ای همچون یک بعدی بودن جریان در نظر گرفته شده و ضربی اصطکاک بر اساس روابط جریان پایدار لحاظ می‌شود. به این ترتیب با صرف نظر کردن از تأثیرات تنفس برشی گذرا، مطالعات دیفرانسیلی حاکم به نحوی ساده می‌شوند که با روش عددی مشخصه‌ها قابل حل باشند [۷-۱۳] در صورتیکه صرف نظر کردن از تأثیرات تنفس برشی گذرا، منجر به پیش‌بینی غیر

در استخراج این معادله ساده‌سازی‌های بسیاری صورت گرفته و به همین دلیل تحقیقات در این زمینه ادامه یافته است. تحقیقات انجام شده در این زمینه شامل تحقیقات آزمایشگاهی و مطالعات تحلیلی و شبیه‌سازی می‌باشند.

بسیاری از تحقیقات انجام شده در زمینه ضربه قوچ به صورت آزمایشگاهی بوده است. به طور مثال هلمبو<sup>۱۵</sup> و همکاران با انجام بستن ناگهانی شیر در یک خط لوله پرداختند [۴]. چون<sup>۲</sup> و همکاران شرایطی را که باعث بوجود آمدن ضربه قوچ در لوله می‌شود، بررسی کرده و برای جلوگیری از ضربه قوچ استفاده از یک کنارگذر با شیر یک طرفه را پیشنهاد دادند [۵]. کودرا<sup>۳</sup> و همکاران به بررسی آزمایشگاهی ضربه قوچ در یک سیستم تغذیه سوخت پرداختند. در آزمایش‌های آنها از آب به جای سوخت واقعی استفاده شد [۶].

در برخی از تحقیقات در زمینه ضربه قوچ، حل تحلیلی و عددی ضربه قوچ مدنظر قرار می‌گیرد. پرکابردترین روش عددی در این زمینه روش مشخصه‌ها<sup>۴</sup> است که توسط وایلی<sup>۵</sup> [۷] و چادری<sup>۶</sup> [۸] معرفی شده است. این روش جریان گذراي حاصل از ضربه قوچ را به صورت یک بعدی بررسی می‌کند. برگانت<sup>۷</sup> و همکاران با استفاده از روش مشخصه‌ها به بررسی پارامترهای موثر بر شکل موج فشاری ناشی از پدیده ضربه قوچ پرداختند [۹] روحانی و همکارش در زمینه تحلیل معادلات ضربه قوچ روشی برای بهبود کارایی روش خطوط مشخصه ضمنی ارائه کردند. این روش به خاطر کاهش تعداد معادلات غیرخطی نسبت به روش خطوط مشخصه ضمنی، به محاسبات کمتری نیاز دارد، در حالی که به نتایج یکسانی با روش خطوط مشخصه ضمنی می‌رسد [۱۰] و انگ<sup>۸</sup> و همکاران برای حل معادلات ضربه قوچ از ادغام روش صریح و روش ضمنی بهره برdenد. روش ترکیبی حاصل، مزایای هر دو روش را در خود دارد. آنها به این نتیجه رسیدند که روش ضمنی برای پیش‌بینی مشخصات ضربه قوچ در خطوط لوله با سطح مقطع متغیر و طول کم بسیار موثر و دقیق است [۱۱] حسن‌زاده و همکاران پدیده ضربه قوچ در ایستگاه پمپاز

<sup>۱۲</sup> Holmboe

<sup>۱۳</sup> Choon

<sup>۱۴</sup> Kodura

<sup>۱۵</sup> Method of Characteristics (MOC)

<sup>۱۶</sup> Wylie

<sup>۱۷</sup> Chaudhry

<sup>۱۸</sup> Bergant

<sup>۱۹</sup> Wang

<sup>۹</sup> Kandil

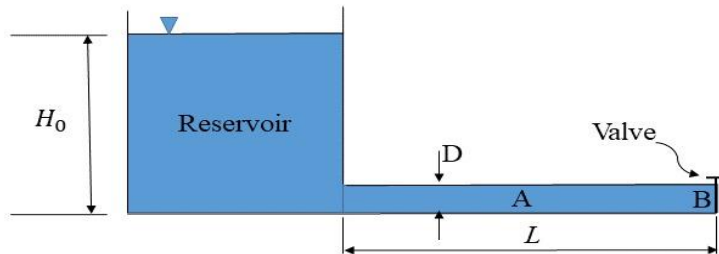
<sup>10</sup> Fernández

<sup>11</sup> Naik

<sup>12</sup> Computational Fluid Dynamics (CFD)

<sup>13</sup> Wang

<sup>14</sup> Fast Transient Flow



شکل ۱. سماتیک هندسه مورد مطالعه  
Figure 1. Schematic of the studied geometry

جدول ۱. مشخصات خط لوله در حالت مبنا [۴]

Table 1. Pipeline specifications for the base case [4]

جنس لوله	ضخامت لوله (m)	قطر لوله (m)	طول لوله (m)
مس	۰/۰۰۳	۰/۰۲۵	۳۶/۰۹

جدول ۲. مشخصات جریان روغن و آب در حالت مبنا [۴]

Table 2: Oil and water flow characteristics for the base case [4]

نوع سیال	ضریب لزjet (N.s/m <sup>2</sup> )	سرعت اولیه (m/s)	چگالی (kg/m <sup>3</sup> )
روغن	۰/۰۳۴۸۳	۰/۱۳	۸۷۸/۴
آب	۰/۰۰۱۰۰۳	۰/۲۴	۹۹۸/۲

خواهد شد و رفتار گذرای جریان تراکم‌پذیر به وجود آمده تحت تأثیر این پدیده، مورد تجزیه و تحلیل قرار می‌گیرد. در مقایسه با دیگر تحقیقات منتشرشده در این زمینه، ضربه قوچ ایجادشده در دو سیال مختلف آب و روغن در دو عدد رینولدز متفاوت مورد بررسی قرار خواهد گرفت و تأثیر رژیم جریان و نوع سیال بر شدت ضربه قوچ مطالعه خواهد شد. نتایج شبیه‌سازی سه بعدی با شبیه‌سازی دو بعدی تقارن محوری در دو رژیم جریان مقایسه شده و دقت شبیه‌سازی دو بعدی بررسی خواهد شد. همچنین تأثیر شرایط مختلف عملکردی سیستم (مانند جنس لوله، ضخامت لوله و طول لوله) بر شدت ضربه قوچ مورد بررسی قرار خواهد گرفت.

## ۲-معرفی مسئله

تصویری از هندسه خط لوله مورد مطالعه در شکل ۱ نشان داده شده است. یک لوله به طول  $L$  و قطر  $D$  به مخزن سیال متصل است و در انتهای لوله نیز یک شیر برای قطع و وصل جریان وجود

دقیق جریان گذرا و در نتیجه کاهش استهلاک موج فشاری حاصل از ضربه قوچ می‌شود. زیرا رفت و برگشت موج فشاری در ضربه قوچ، گرادیان‌های شدیدی را در پروفیل سرعت ایجاد می‌کند که باعث افزایش تنفس برشی و استهلاک سریعتر ضربه قوچ می‌شود. به عبارت دیگر اصطکاک جداره در ضربه قوچ، بسیار بیشتر از مقدار محاسبه شده در مدل‌های یک بعدی بدون حضور تأثیرات تنفس برشی گذرا است. در برخی دیگر از تحقیقات در این زمینه، ضربه قوچ با استفاده از معادلات اصلی حاکم بر جریان سیال (معادلات پیوستگی و ناویراستوکس) و بدون صرف نظر کردن از تأثیرات تنفس برشی گذرا، به صورت دقیق‌تری شبیه‌سازی شده است [۱۴-۱۶]. در این تحقیقات نیز شبیه‌سازی به صورت یک بعدی [۱۴]، دو بعدی [۱۵] یا تلفیق مدل‌سازی یک بعدی و سه بعدی [۱۶] انجام شده است.

در این مقاله پدیده ضربه قوچ ناشی از بستن سریع شیر در یک خط لوله الاستیک، به صورت سه بعدی و با منظور کردن تأثیرات تنفس برشی گذرا، با استفاده از دینامیک سیالات محاسباتی شبیه‌سازی

$$\begin{aligned} \frac{\partial(\rho u_j)}{\partial t} + \frac{\partial(\rho u_k u_j)}{\partial x_k} = \\ -\frac{\partial P}{\partial x_j} + \frac{\partial}{\partial x_j} \left( \lambda \frac{\partial u_k}{\partial x_k} \right) + \frac{\partial}{\partial x_i} \left[ \mu \left( \frac{\partial u_i}{\partial x_j} + \frac{\partial u_j}{\partial x_i} \right) \right] \end{aligned} \quad (3)$$

که در آن  $P$  فشار،  $\mu$  ضریب لزجت دینامیکی و  $\lambda$  ضریب لزجت ثانویه<sup>۳</sup> است که مقدار آن برابر است با:

$$\lambda = -\frac{2}{3} \mu \quad (4)$$

در جریان آشفته از معادلات ناویراستوکس متوسط‌گیری زمانی صورت می‌گیرد. در این حالت عبارت  $-\rho \bar{u}_i \bar{u}'_j$  (تنش رینولدز) برای محاسبه اثرات آشافتگی به معادله ناویراستوکس اضافه می‌شود که در آن  $\bar{u}_i$  نشان دهنده مولفه‌های سرعت نوسانی هستند:

$$\frac{\partial(\rho u_i)}{\partial t} + \frac{\partial(\rho u_i u_j)}{\partial x_j} = -\frac{\partial P}{\partial x_i} + \frac{\partial}{\partial x_j} \left[ \mu \left( \frac{\partial u_i}{\partial x_j} + \frac{\partial u_j}{\partial x_i} - \frac{2}{3} \delta_{ij} \frac{\partial u_l}{\partial x_l} \right) \right] + \frac{\partial}{\partial x_j} (-\rho \bar{u}_i \bar{u}'_j) \quad (5)$$

در معادلات فوق پارامترهای سرعت، فشار و چگالی سیال تابعی از مکان و زمان هستند. در شبیه‌سازی پدیده ضربه قوچ معمولاً تأثیر دما در محاسبات لحاظ نمی‌شود و لزجت سیال و سایر خواص فیزیکی آن مستقل از دما در نظر گرفته می‌شود. به همین دلیل از معادله انرژی صرف نظر شده است.

سرعت انتشار موج در سیالات از رابطه زیر محاسبه می‌شود:

$$a = \sqrt{\frac{K}{\rho}} \quad (6)$$

که در آن  $K$  مدول بالک سیال می‌باشد. در استخراج رابطه فوق فرض شده است که لوله یا کانال حاوی سیال، صلب است. استفاده از این رابطه در شبیه‌سازی ضربه قوچ باعث می‌شود که سرعت انتشار موج بیشتر از مقدار واقعی به دست آید. به منظور لحاظ کردن خاصیت الاستیک لوله، مدول بالک در رابطه (۶) با استفاده از رابطه زیر اصلاح

دارد. شیرآلات موجود در خطوط لوله، با سرعت‌های مختلفی می‌توانند باز یا بسته شوند. اگر شیر به صورت ناگهانی باز و بسته شود، قطع وصل جریان، ناگهانی در نظر گرفته می‌شود و اگر شیر به صورت تدریجی و با سرعت کم باز و بسته شود، قطع وصل جریان نیز تدریجی خواهد بود. در این تحقیق برای ایجاد ضربه قوچ، شیر ابتدا باز بوده و سپس به طور ناگهانی بسته می‌شود. تغییرات فشار سیال در دو نقطه میانی لوله (نقطه  $A$ ) و نقطه انتهایی لوله (نقطه  $B$ ) واقع بر روی محور لوله، در هر لحظه محاسبه شده است. شبیه‌سازی برای یک نوع روغن با لزجت زیاد و همچنین برای آب انجام می‌شود.

ابعاد و پارامترهای هندسی در جدول ۱ نشان داده شده است. مشخصه‌های جریان نیز برای هر دو سیال در جدول ۲ مشخص شده است. شرایط عملکردی و ابعاد مسئله مطابق شرایط هندسه آزمایش شده در مرجع [۴] انتخاب شده است تا بتوان نتایج شبیه‌سازی را با داده‌های حاصل از آزمایش مقایسه کرد. در آزمایش مذکور نیز شیر موجود در انتهای لوله به صورت ناگهانی بسته می‌شود<sup>۱</sup> و فشار مخزن توسط هوای فشرده ثابت نگه داشته شده است [۴] با توجه به مشخصات جریان، عدد رینولدز در جریان آب حدود ۶۰۰۰ و در جریان روغن حدود ۸۲ است. به همین دلیل رژیم اولیه جریان در آزمایش آب، آشفته و در آزمایش روغن، آرام می‌باشد. شرایط عملکردی مسئله طوری منظور شده که کاویتاسیون رخ ندهد.

### ۳-معادلات حاکم

برای حل جریان سیال در داخل لوله دو معادله اساسی به کار برده می‌شود. این دو معادله شامل معادله پیوستگی یا بقاء جرم و معادله اندازه حرکت یا ناویراستوکس می‌باشند. با توجه به ماهیت ضربه قوچ و تغییرات شدید فشار در این پدیده، چگالی مایعات ثابت نبوده و با تغییر فشار، چگالی نیز تغییر می‌کند. معادله پیوستگی در حالت کلی برای جریان تراکم‌پذیر عبارت است از:

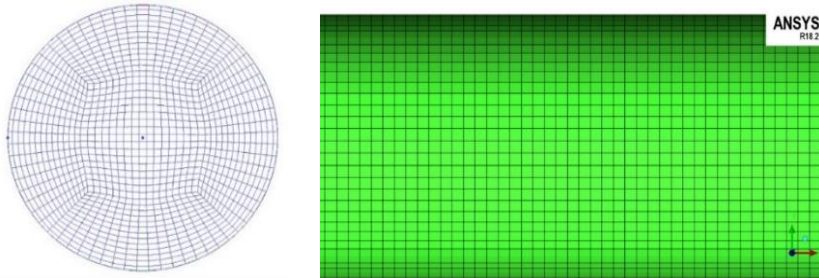
$$\frac{\partial \rho}{\partial t} + \frac{\partial(\rho u_j)}{\partial x_j} = 0 \quad (2)$$

که در آن  $u$  سرعت جریان سیال و  $\rho$  چگالی سیال می‌باشد. معادلات ناویراستوکس نیز به اینصورت بیان می‌شوند [۱۷]:

### جدول ۳. ثابت‌های تجربی برای مدل آشفته [۱۸]

Table 3: Empirical constants for the  $k - \varepsilon$  model [18]

$C_\mu$	$C_{1\varepsilon}$	$C_{2\varepsilon}$	$\sigma_k$	$\sigma_\varepsilon$
۰/۰۹	۱/۴۴	۱/۹۲	۱/۰۰	۱/۳۰



شکل ۲. تصویر شبکه ایجادشده در لوله  
Figure 2. Employed mesh in the pipe

رینولدز و گرادیان‌های سرعت متوسط با رابطه زیر به هم مربوط

$$\text{می‌شوند: } k' = K / (1 + KD / Ee) \quad (7)$$

$$-\rho \overline{u'_i u'_j} = \mu_t \left( \frac{\partial u_i}{\partial x_j} + \frac{\partial u_j}{\partial x_i} \right) \quad (10)$$

$$-\frac{2}{3} (\rho k + \mu_t \frac{\partial u_k}{\partial x_k}) \delta_{ij}$$

که در آن  $k$  انرژی جنبشی اغتشاش و  $\mu_t$  ضریب لزجت اغتشاش

نام دارند. انرژی جنبشی اغتشاش به اینصورت تعریف شده است:

$$k = \frac{1}{2} \overline{u'_i u'_j} \quad (11)$$

ضریب لزجت اغتشاش برابر است با:

$$\mu_t = \rho C_\mu \frac{k^2}{\varepsilon} \quad (12)$$

که در آن  $\varepsilon$  نرخ اقلاف اغتشاش و  $C_\mu$  یک ثابت بدون بعد است.

معادلات لازم برای حل  $k$  و  $\varepsilon$  به این صورت می‌باشند:

$$\begin{aligned} \frac{\partial}{\partial t} (\rho k) + \frac{\partial}{\partial x_j} (\rho k u_j) &= \\ \frac{\partial}{\partial x_j} \left( (\mu + \frac{\mu_t}{\sigma_k}) \frac{\partial k}{\partial x_j} \right) + p_k - \rho \varepsilon & \end{aligned} \quad (13)$$

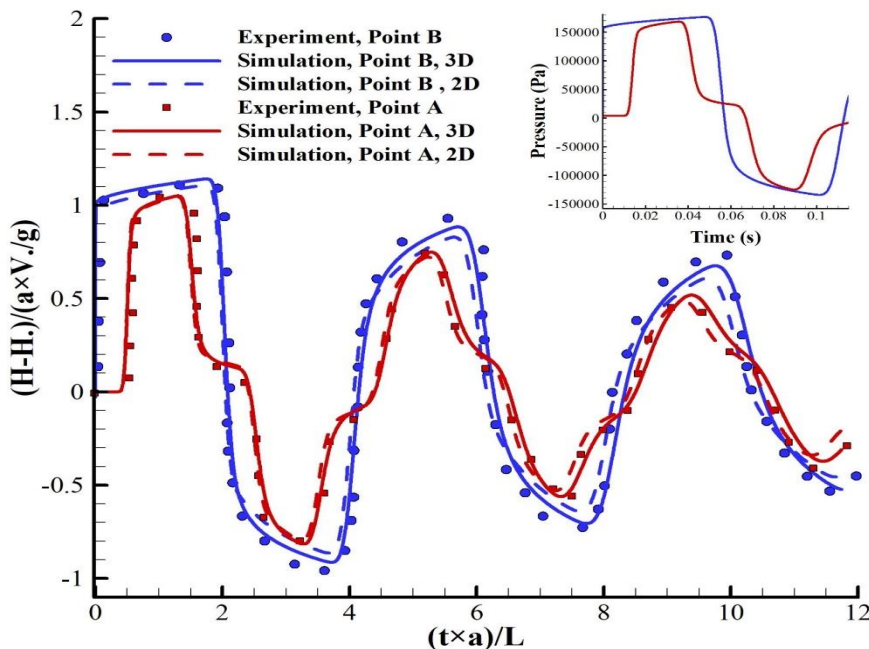
به وسیله این فرمول می‌توان سرعت موج جدیدی تعریف کرد که از دقت بالاتری برخوردار باشد و توان تأثیر خاصیت الاستیک لوله را در آن منظور نمود [۲]:

$$a = \sqrt{\frac{K / \rho}{(1 + KD / Ee)}} \quad (8)$$

در رابطه فوق  $D$  قطر لوله،  $E$  مدول یانگ لوله و  $e$  ضخامت لوله است. با توجه به اینکه جریان همدمان در نظر گرفته شده است، تغییرات چگالی فقطتابع تغییر فشار خواهد بود و با رابطه زیر محاسبه می‌شود:

$$\frac{dp}{\rho} = \frac{dp}{k'} \quad (9)$$

که در آن  $k'$  از رابطه (7) محاسبه می‌شود. رابطه فوق تعریف مدول بالک سیال در یک فرایند همدمان است که در آن به منظور درنظر گرفتن خاصیت الاستیک لوله، مدول بالک سیال با رابطه (7) اصلاح شده است. این رابطه تراکم پذیری جریان را در اثر تغییرات فشار، در مدلسازی لحاظ می‌کند. در این تحقیق مدلسازی جریان آشفته توسط مدل  $k - \varepsilon$  انجام شده است. در این مدل تنش‌های



شکل ۳. مقایسه نتایج آزمایشگاهی و شبیه‌سازی دوبعدی و سه‌بعدی در نقاط A و B برای جریان روغن

Figure 3. Comparison of experimental results with 2D and 3D simulation predictions at points A and B for oil flow

عدم لغزش در نظر گرفته شده است. در مرز ورودی، شرط مرزی فشار ورودی به کار رفته و در مرز خروجی، در حالت پایا از شرط فشار خروجی استفاده شده است. بعد از حل حالت پایدار، شرط مرزی در خروجی، به شرط مرزی دیواره تغییر یافته و حل به صورت گذرا ادامه یافته است. گام زمانی در حل گذرا  $0.0001$  ثانیه در نظر گرفته شده است. همچنین مقدار باقیمانده‌های خطای در حل عددی  $1.0000$  لحاظ شده است. استقلال از شبکه نیز مورد بررسی قرار گرفته و در نهایت برای شبیه‌سازی سه‌بعدی، در شبکه‌ای با حدود سه میلیون المان، نتایج مستقل از شبکه به دست آمده است. برای شبیه‌سازی در حالت دو بعدی نیز استقلال نتایج از اندازه شبکه برای هر دو سیال در نظر گرفته شده است. شکل ۲ تصویر شبکه انتخابی برای شبیه‌سازی سه بعدی، با المان‌های چهار وجهی را نمایش می‌دهد. در این شکل قسمتی از طول لوله نشان داده شده است.

## ۵- بررسی ضربه قوچ در جریان روغن

### ۱- صحبت‌سنگی نتایج عددی در جریان روغن

جهت بررسی صحبت نتایج شبیه‌سازی جریان روغن، نتایج به دست آمده با نتایج آزمایشگاهی مقایسه می‌شوند. نتایج شبیه‌سازی دوبعدی تقارن محوری و سه‌بعدی و نتایج آزمایشگاهی برای تغییرات

$$\frac{\partial}{\partial t}(\rho\varepsilon) + \frac{\partial}{\partial x_j}(\rho u_j \varepsilon) = \frac{\partial}{\partial x_j} \left( (\mu + \frac{\mu_t}{\sigma_\varepsilon} \frac{\partial \varepsilon}{\partial x_j}) \right) + C_{1\varepsilon} \frac{\varepsilon P_k}{k} - C_{2\varepsilon} \rho \frac{\varepsilon^2}{k} \quad (14)$$

که در آن  $P_k$  تولید انرژی اغتشاش است. این معادلات دارای پنج ثابت هستند که مقادیر آنها در جدول ۳ مشخص شده است.

## ۴- حل عددی

مجموعه معادلات دیفرانسیل پاره‌ای غیرخطی حاکم بر مسئله با روش حجم محدود و با استفاده از نرم‌افزار انسیس-فلوئنت حل شده‌اند. برای ارتباط فشار و سرعت از طرح سیمپل<sup>۱</sup> استفاده شده است. برای گسسته‌سازی معادلات، روش بالادست مرتبه دوم<sup>۲</sup> به کار رفته است. تغییرات چگالی سیال و تأثیرات تراکم‌پذیری از طریق توابع تعریف شده توسط کاربر<sup>۳</sup> مشخص شده‌اند. برای دیواره‌ها شرط

1 Semi-Implicit Method for Pressure-Linked Equations (SIMPLE Scheme)

2 Second Order Upwind

3 User Defined Function (UDF)

سمت مخزن حرکت کرده و پس از رسیدن به مخزن، باز به طرف شیر بر می‌گردد و در لحظه  $t=T$  معادل  $1/10\cdot 9$  ثانیه مجدداً به شیر می‌رسد و بعد از آن مجدداً فشار در نقطه  $B$  افزایش پیدا می‌کند. به این ترتیب یک دوره تناوب تکمیل شده و همین روند در دوره‌های تناوب دیگر نیز تکرار می‌شود. البته به دلیل تأثیرات لزجت سیال و تنش برشی گذرای حاصله، موج فشاری مستهلك شده و مقدار فشار حداکثر در تناوب دوم به بعد کاهش پیدا می‌کند.

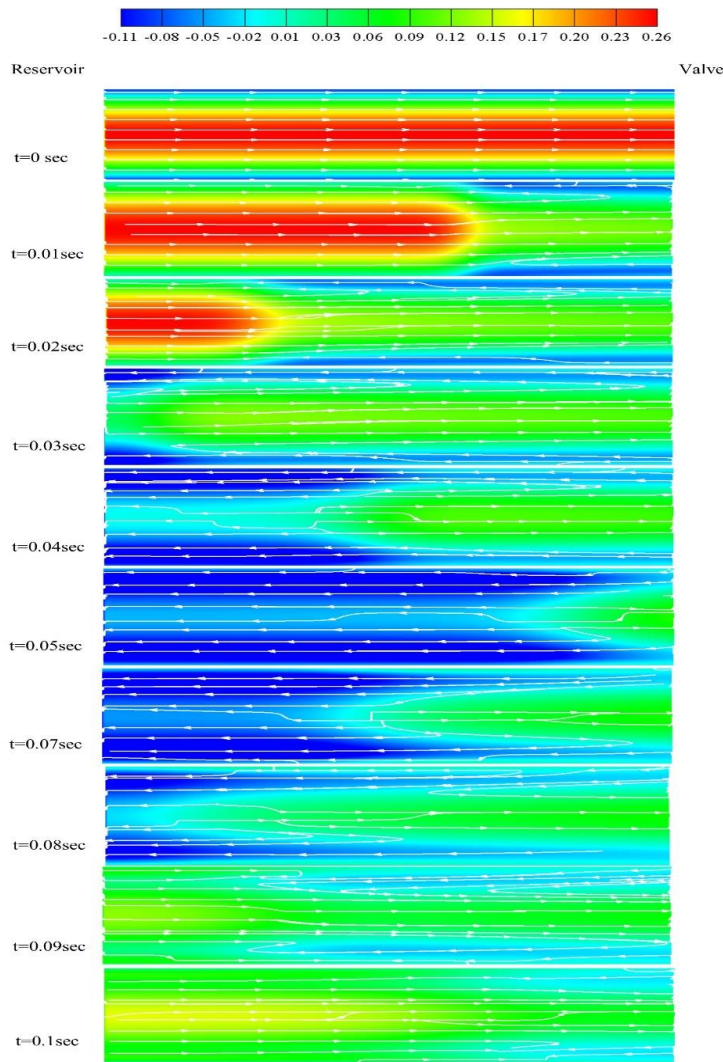
شکل ۳ نشان می‌دهد که تغییرات فشار در نقطه  $A$  کمی متفاوت است. با بستن شیر، موج فشاری ایجادشده با سرعت موج به سمت مخزن شروع به حرکت می‌کند و در لحظه  $t=L/2a=7/8$  که برابر با  $1/10\cdot 9$  ثانیه است، به نقطه  $A$  می‌رسد. به همین دلیل تا این لحظه تأثیر بسته‌شدن شیر در پایین دست، به نقطه  $A$  نرسیده و فشار در آن ثابت می‌ماند. در نتیجه نمودار حاصل شده برای تغییرات فشار نقطه  $A$  از زمان صفر تا حدود  $1/10\cdot 9$  ثانیه یک خط مستقیم را نشان می‌دهد. وقتی که موج فشاری ایجادشده به نقطه  $A$  می‌رسد فشار در این نقطه به شدت افزایش پیدا می‌کند و بعد از آن رفت و برگشت موج عبوری از این نقطه نیز، مانند نقطه  $B$ ، باعث ایجاد تغییرات فشار نشان داده شده در شکل ۳ می‌شود. مجدداً به دلیل تأثیرات لزجت سیال، مقدار فشار حداکثر در تناوب دوم به بعد کاهش پیدا می‌کند. همچنین شکل ۳ نشان می‌دهد در پیک اول نوسانات فشار، فشار حداکثر ایجادشده در نقطه انتهایی لوله مقدار بیشتری از نقطه میانی لوله دارد. چون مدتی طول می‌کشد تا موج ایجادشده در انتهای لوله به نقطه میانی لوله برسد و در این فاصله، به دلیل تنش‌های برشی از قدرت موج فشاری کاسته می‌شود. به عبارت دیگر انتشار موج تحت تأثیر اصطکاک قرار گرفته است. در دوره‌های تناوب بعدی تأثیر این پدیده واضح‌تر است، به طوریکه تغییرات فشار بر حسب زمان، شکل تقریباً مستطیل مانند خود را نیز از دست داده و دامنه نوسانات نیز کاهش یافته است.

کانتورهای سرعت محوری و خطوط جریان برای سیال روغن در مقطع میانی لوله در زمان‌های مختلف در شکل ۴ نشان داده شده است. در شکل ۴، زمان صفر ثانیه در حقیقت جریان در حالت پایدار را نشان می‌دهد. این شکل نشان می‌دهد که در حالت پایدار، جریان سیال در لوله مطابق جریان معمول در لوله‌ها است و سرعت در دیواره لوله، صفر بوده و در محور لوله حداکثر می‌باشد. پس از بسته‌شدن شیر،

هد فشاری بر حسب زمان در نقطه میانی محور لوله (نقطه  $A$ ) و در انتهای لوله (نقطه  $B$ ) در شکل ۳ نشان داده شده است. در این شکل، هد فشاری و زمان در محورهای عمودی و افقی با استفاده از پارامترهای طول لوله ( $L$ )، سرعت اولیه سیال ( $V_0$ )، هد فشاری اولیه در لوله ( $H_0$ )، و سرعت موج، بی بعد شده‌اند. همانطور که از شکل مشخص است، نتایج شبیه‌سازی به صورت سه بعدی در لحظات مختلف به صورت خوبی با نتایج آزمایشگاهی مرجع [۴] مطابقت دارد. همچنین نتایج شکل ۳ نشان می‌دهد دقت شبیه‌سازی سه بعدی بیشتر از شبیه‌سازی دو بعدی به صورت تقارن محوری است. در دوره تناوب اول، نتایج شبیه‌سازی دو بعدی و سه بعدی، اختلاف زیادی ندارند. با گذشت زمان و در دوره تناوب دوم به بعد، اختلاف نتایج دو بعدی و سه بعدی بیشتر شده و نتایج شبیه‌سازی سه بعدی به نتایج تجربی نزدیکتر است. زیرا با گذشت زمان و حرکت موج فشاری در لوله، تأثیرات تنش برشی گذرا بر استهلاک موج واضح‌تر می‌شود و نتایج نشان می‌دهد که شبیه‌سازی دو بعدی نمی‌تواند این استهلاک را با دقت مناسبی محاسبه کند. حداکثر اختلاف نتایج سه بعدی و نتایج آزمایشگاهی  $10$  درصد است، در صورتیکه حداکثر اختلاف نتایج دو بعدی و نتایج آزمایشگاهی  $18$  درصد است.

## ۲- تحلیل ضربه قوچ در جریان روغن

در شکل ۳ تغییرات فشار سیال بر حسب زمان بدون بی بعدسازی و در یک دوره تناوب نیز نشان داده شده است. هنگامی که سیال از داخل مخزن وارد لوله می‌شود، مسیر طول لوله را طی می‌کند تا به انتهای لوله یعنی به شیر برسد و از آن خارج شود. زمانی که در لحظه  $t=0$  شیر بسته شده و مسیر خروج سیال مسدود می‌شود، تغییرات فشار زیادی در لوله شکل می‌گیرد و فشار در نقطه  $B$  افزایش زیادی پیدا می‌کند. نتایج نشان می‌دهد مقدار فشار نسبی در نقطه  $B$ ، از مقدار اولیه صفر پاسکال در حالت پایدار، به حداکثر مقدار  $176649$  پاسکال افزایش می‌یابد. موج فشاری حاصل شده با سرعت موج به سمت مخزن شروع به حرکت می‌کند و سپس مجدداً به سمت شیر بر  $T=4L/a$  می‌گردد. طبق تحلیل تئوری، دوره تناوب انتشار موج برابر  $t=2L/a=T/2$  معادل با  $0.54$  ثانیه است [۱] در لحظه  $t=10/10\cdot 9$  ثانیه، موجی که به سمت شیر حرکت می‌کند، به نقطه  $B$  می‌رسد. در این لحظه، فشار در نقطه  $B$  کاهش یافته و موج فشاری مجدداً به

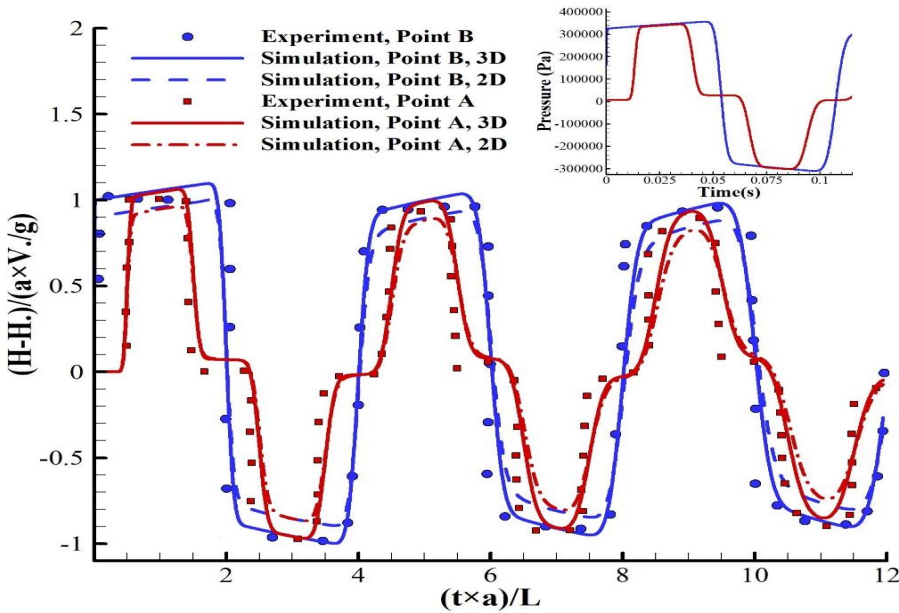


شکل ۴. کانتور سرعت محوری و خطوط جریان در فاصله زمانی صفر تا ۰/۱ ثانیه در مقطع میانی لوله برای جریان روغن

Figure 4. Axial velocity contours and streamlines from 0 s to 0.1 s in the middle section of the pipe for oil flow

محور لوله گسترش می‌یابد. در لحظه ۰/۰۲ ثانیه، در طول بیشتری از لوله جهت جریان مجاور جداره، به سمت مخزن تغییر یافته و جریان برگشتی از وسط لوله (نقطه A) عبور کرده است. همانطور که در کانتور شکل ۴ مشخص است، در این لحظه در نواحی ورودی لوله و در نزدیکی مخزن، الگوی جریان مانند جریان عادی قبل از بستن شیر است و تأثیر تغییرات ایجادشده در انتهای لوله، هنوز به این قسمت لوله نرسیده است. در لحظه ۰/۰۳ ثانیه موج به مخزن رسیده و برگشته است. در این زمان کل لوله تحت تأثیر تغییرات ایجادشده قرار گرفته و در تمام طول لوله، در نزدیک جداره، سیال به سمت مخزن جریان داشته و در مرکز لوله سیال همان الگوی حالت پایدار

$t=7/4$  موج ضربه ایجادشده به سمت مخزن حرکت کرده، در لحظه معادل ۰/۰۲۷ ثانیه به مخزن می‌رسد. سپس به سمت شیر برگشته و در لحظه  $t=7/2$  معادل با ۰/۰۵۴ ثانیه، موجی که به سمت شیر حرکت می‌کند، به شیر واقع در نقطه B می‌رسد. موج فشاری مجدداً به سمت مخزن حرکت کرده و در لحظه  $t=3T/4$  معادل با ۰/۰۸۲ا ثانیه به مخزن می‌رسد. سپس مجدداً به طرف شیر بر می‌گردد و در لحظه  $t=T$  معادل ۰/۰۹۱ ثانیه باز به شیر می‌رسد. در شکل ۴ در لحظه ۰/۰۱ ثانیه، با توجه به بسته شدن شیر در لحظه ۰ ثانیه، جریان سیال در انتهای لوله به سمت مخزن، تغییر جهت داده است. البته برگشت سیال ابتدا در مجاورت جداره لوله آغاز شده و به سمت



شکل ۵. مقایسه نتایج آزمایشگاهی و شبیه‌سازی دوبعدی و سه‌بعدی در نقاط *A* و *B* برای جریان آب

Figure 5. Comparison of experimental results with 2D and 3D simulation predictions at points *A* and *B* for water flow

این رفتار در کانتورهای مربوط به زمان‌های  $0/0.9$  ثانیه و  $0/1$  ثانیه مشخص است.

بررسی کانتورهای سرعت در زمان‌های مختلف، دو ناحیه با رفتار متفاوت را نشان می‌دهد. ناحیه مجاور جداره لوله و ناحیه محور لوله. در ناحیه مجاور لوله تأثیرات لزجت سیال غالب بوده، گرادیان‌های سرعت بزرگتر است و تغییرات سرعت سریعتر رخ می‌دهد. در حالیکه ناحیه محور لوله تحت تأثیر نیروهای اینرسی سیال است و تمایل دارد الگوی جریان حالت پایدار خود را حفظ کند.

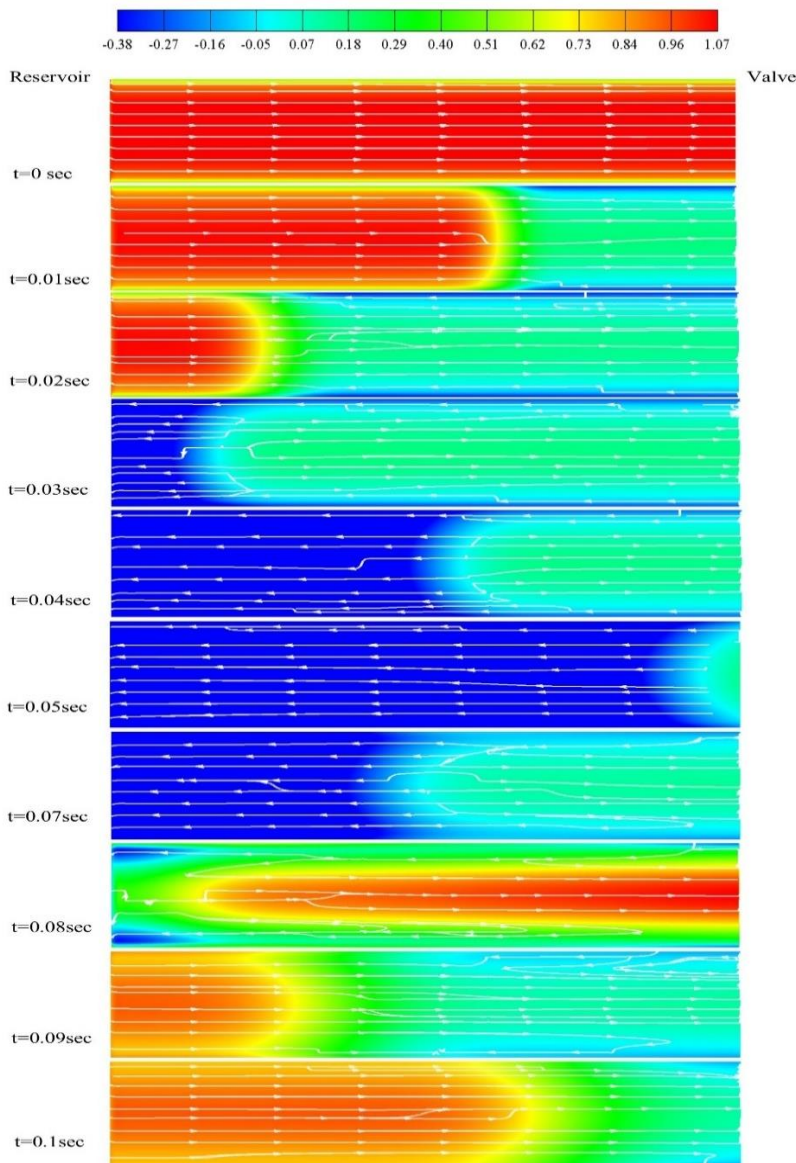
## ۶- بررسی ضربه قوچ در جریان آب

### ۶-۱- صحبت‌سنگی نتایج عددی در جریان آب

نتایج شبیه‌سازی سه‌بعدی و نتایج آزمایشگاهی برای تغییرات هد فشاری بی‌بعد شده بر حسب زمان بی‌بعد شده در نقطه میانی محور لوله و در انتهای لوله در شکل ۵ نشان داده شده است. همانطور که از شکل مشخص است، هد محاسبه شده در شبیه‌سازی سه‌بعدی برای جریان آب نیز در لحظات مختلف با دقت بسیار خوبی با نتایج آزمایشگاهی مرجع [۱] مطابقت دارد.

نتایج شبیه‌سازی دو بعدی نیز در شکل ۵ نشان داده شده است. این شکل نشان می‌دهد دقت شبیه‌سازی سه‌بعدی بیشتر از شبیه‌سازی

را دارد. طبق تحلیل تئوری در لحظه  $t=T/4$  معادل  $0/0.27$  ثانیه، سرعت در کل لوله صفر است [۱] در کانتور نشان داده شده در زمانی نزدیک این حالت (لحظه  $0/0.3$  ثانیه) مشاهده می‌شود که به دلیل درنظر گرفتن تأثیرات لزجت در شبیه‌سازی، دقیقاً رفتار مذکور در لوله به وجود نمی‌آید و در هر مقطع، سیال در تمام شعاع‌ها دارای سرعت است. البته با توجه به جهت‌های متفاوت جریان در هر شعاع، سرعت متوسط در هر مقطع تقریباً صفر می‌باشد. مشاهده می‌شود که در لحظه  $0/0.4$  ثانیه در محور لوله نیز جهت جریان به سمت مخزن برگشتة است که با گذشت زمان و حرکت موج به سمت شیر، در لحظه  $0/0.5$  ثانیه طول بیشتری از لوله چنین الگوی جریانی پیدا کرده است. پس از رسیدن موج به شیر در لحظه  $0/0.54$  ثانیه تا زمان  $0/0.82$  ثانیه، موج فشاری دوباره به سمت مخزن حرکت کرده و سرعت متوسط سیال به تدریج از سمت شیر، صفر خواهد شد. این موضوع در کانتورهای مربوط به زمان‌های  $0/0.7$  و  $0/0.8$  ثانیه مشخص است. البته همانطور که این کانتورها نشان می‌دهند، در هر مقطع، سیال در تمام شعاع‌ها دارای سرعت است، ولی جهت سرعت متفاوت است. در زمان‌های بین لحظه  $0/0.82$  و  $0/1.09$  ثانیه، موج فشاری از سمت مخزن به طرف شیر حرکت کرده و جهت جریان سیال نیز به تدریج از سمت مخزن به سمت شیر گسترش می‌یابد.



شکل ۶. کانتور سرعت محوری و خطوط جریان در فاصله زمانی صفر تا ۰.۱ ثانیه در مقطع میانی لوله برای جریان آب

**Figure 6. Axial velocity contours and streamlines from 0 s to 0.1 s in the middle section of the pipe for water flow**

شبیه‌سازی ضربه قوچ به صورت سه بعدی الزامی به نظر می‌رسد.

#### ۲-۶ تحلیل ضربه قوچ در جریان آب

در شکل ۵ تغییرات فشار سیال بر حسب زمان بدون بی‌بعد سازی و در یک دوره تناوب نیز نشان داده شده است. وقتی که در لحظه  $t=0$  شیر بسته شده و مسیر خروج سیال مسدود می‌شود، مقدار فشار نسبی در نقطه  $B$  از مقدار اولیه صفر در حالت پایدار به ۳۵۵۹۳۰ پاسکال افزایش می‌یابد. همانطور که در بخش‌های قبل گفته شد، موج فشاری حاصل شده با سرعت موج به سمت مخزن شروع به حرکت می‌کند و سپس مجدداً به سمت شیر برمی‌گردد.

دوبعدی است. حداکثر خطای شبیه‌سازی سه‌بعدی ۵ درصد بوده و در پیک اول ایجاد شده است. با گذشت زمان دقت شبیه‌سازی سه‌بعدی بیشتر شده و با گذشت نیمی از دوره تناوب اول، نتایج سه‌بعدی منطبق بر نتایج تجربی شده است. در صورتیکه نتایج شبیه‌سازی دوبعدی در تمام مدت حدود ۲۰ درصد با نتایج تجربی تفاوت دارد. مقایسه شکل‌های ۳ و ۵ نشان می‌دهد که اختلاف نتایج شبیه‌سازی دوبعدی و سه‌بعدی، با افزایش عدد رینولدز افزایش یافته است. با افزایش عدد رینولدز اغتشاشات جریان بیشتر شده و فرض تقارن محوری دقت خود را از دست می‌دهد. بنابراین در جریان مغушوش

در جریان آب کمتر است. در لحظات  $t=0.03$  تا  $0.05$  ثانیه موج فشاری از مخزن به سمت شیر حرکت می‌کند، و جهت حرکت سیال از سمت شیر به سمت مخزن تغییر می‌یابد. با گذشت زمان در طول بیشتری از لوله، الگوی جریان به این صورت درآمده است. در لحظه  $t=0.05$  ثانیه موج فشاری به شیر رسیده و در تمام لوله سیال از  $0.05$  تا  $0.07$  ثانیه، موج فشاری به شیر رسیده و در تمام لوله سیال از شیر به سمت مخزن جریان خواهد داشت. در زمان‌های بین لحظه  $0.05$  تا  $0.08$  ثانیه و لحظه  $t=0.082$  میلی‌ثانیه، موج فشاری دوباره به سمت مخزن حرکت کرده و سرعت متوسط سیال به تدریج از سمت شیر، صفر خواهد شد. این موضوع در کانتورهای مربوط به زمان‌های  $0.07$  تا  $0.08$  ثانیه مشخص است. البته همانطور که این کانتورها نشان می‌دهند، در هر مقطع، سیال در تمام شاعع‌ها دارای سرعت است، ولی جهت سرعت متفاوت است. در زمان‌های بین  $0.082$  تا  $0.107$  ثانیه و لحظه  $t=0.107$  میلی‌ثانیه، موج فشاری از سمت مخزن به طرف شیر حرکت کرده و جهت جریان سیال نیز به تدریج از سمت مخزن به سمت شیر گسترش می‌یابد. این رفتار در کانتورهای مربوط به زمان‌های  $0.09$  تا  $0.10$  ثانیه مشخص است.

در جریان آب نیز، کانتورهای سرعت در زمان‌های مختلف، دو ناحیه مجاور جداره لوله و ناحیه محور لوله با دو رفتار متفاوت را نشان می‌دهند. با این تفاوت که در جریان آب ناحیه محور لوله در مقایسه با ناحیه محور لوله در جریان روغن، بسیار بزرگتر است. زیرا تأثیرات اینرسی سیال به دلیل اغتشاشات جریان افزایش یافته است. همچنین سرعت انتشار ضربه قوچ در جریان آب بیشتر است.

## ۷- تحلیل پارامتری

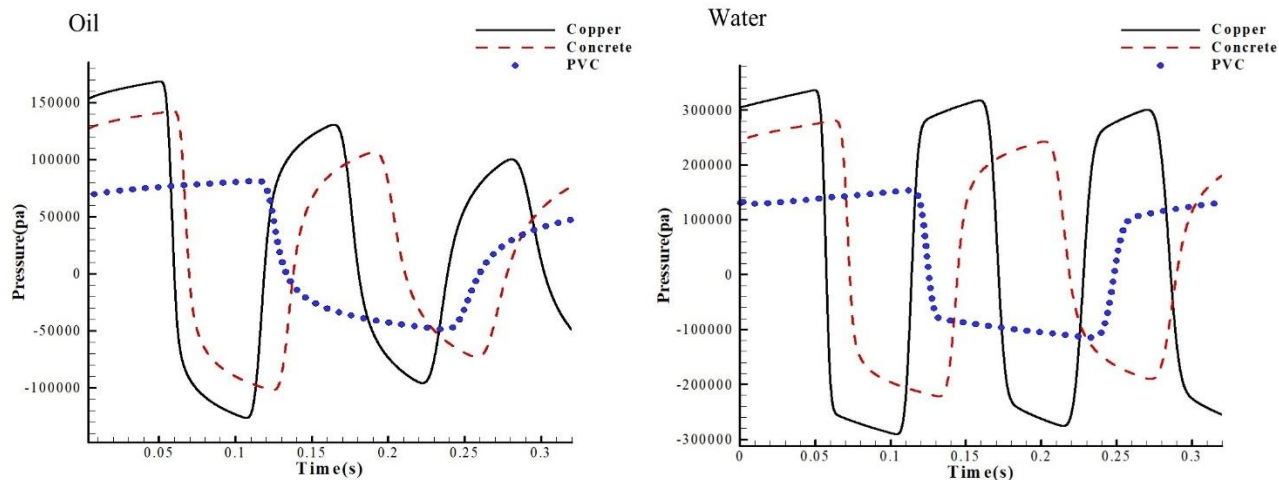
در این قسمت اثر پارامترهای مختلف بر ضربه قوچ ایجادشده در لوله، مورد بررسی قرار می‌گیرد. در هر قسمت یکی از پارامترها متغیر بوده و بقیه پارامترها مطابق جداول ۱ و ۲ در شرایط مبنا ثابت نگهداشته می‌شوند.

## ۷-۱- تأثیر جنس لوله

به منظور بررسی تأثیر جنس لوله بر شدت ضربه قوچ، چندین لوله با جنس‌های مختلف از جمله بتن، مس و پیویسی<sup>۱</sup> مورد بررسی قرار گرفته و نتایج در شکل ۷ برای جریان روغن و آب نشان داده شده است.

برای جریان آب، دوره تناوب انتشار موج برابر  $T=0.107$  ثانیه است. در لحظه  $t=T/2$  معادل با  $0.053$  ثانیه، موجی که از مخزن به سمت شیر حرکت می‌کند، به نقطه  $B$  می‌رسد. در این لحظه فشار در نقطه  $B$  کاهش یافته و موج فشاری مجدداً به سمت مخزن حرکت کرده و پس از رسیدن به مخزن، باز به طرف شیر برمی‌گردد و در لحظه  $t=T$  معادل  $0.107$  ثانیه مجدداً به شیر می‌رسد. به این ترتیب یک دوره تناوب تکمیل شده و همین روند در دوره‌های تناوب دیگر نیز تکرار می‌شود. تغییرات فشار در نقطه  $A$  نیز نوسانی بوده و همانند جریان روغن، نقطه  $A$  با تأخیر زمانی نسبت به نقطه  $B$  تحت تأثیر تغییرات گذراش جریان قرار می‌گیرد. نتایج نشان می‌دهد مقدار فشار ایجادشده در پیک اول، در نقطه انتهایی لوله با فشار ایجادشده در نقطه میانی تقریباً مقدار یکسانی دارد. در مقایسه با جریان روغن (شکل ۳) که در آن در پیک اول، فشار حداکثر ایجادشده در نقطه میانی لوله، کمتر از فشار ایجادشده در نقطه انتهایی بود، رفتار جریان آب متفاوت است. زیرا در جریان آب اغتشاش‌های موجود در جریان بیشتر بوده و تغییرات ایجادشده در نقاط مختلف لوله انتشار سریعتری دارند. در جریان آب نیز، از دوره تناوب دوم به بعد، حداکثر فشار به وجود آمده به دلیل تأثیرات لزجت، به تدریج کاهش می‌یابد. ولی میزان این تغییرات در جریان آب، نسبت به جریان روغن بسیار کمتر است. در حقیقت در جریان آب در چندین دوره تناوب، شکل مستطیلی پیک‌های ایجادشده در نمودار توزیع فشار، حفظ شده و دامنه پاسخ ثابت می‌ماند که نشان‌دهنده استهلاک و افت انرژی کم در سیستم است. کانتورهای سرعت محوری و خطوط جریان در جریان آب در مقطع میانی لوله و برای زمان‌های مختلف در شکل ۶ نشان داده شده است.

در شکل ۶، زمان صفر ثانیه جریان در حالت پایدار را نشان می‌دهد. در مقایسه با کانتور جریان روغن در حالت پایدار، ضخامت لایه مرزی در جریان آشفته آب بسیار بیشتر است و در جریان آشفته پروفیل سرعت نسبت به حالت آرام به اصطلاح تخت‌تر می‌باشد. در لحظه  $0.10$  ثانیه با توجه به بسته شدن شیر، جریان سیال در انتهای لوله به سمت ابتدای لوله، تغییر جهت داده و برگشت سیال ابتدا در مجاورت دیواره‌ها آغاز شده است. در لحظه  $0.102$  ثانیه، در طول بیشتری از لوله جهت جریان به سمت مخزن تغییر یافته است. مقایسه کانتورهای جریان روغن و آب در شکل‌های ۴ و ۶ و در زمان‌های  $0.102$  و  $0.10$  ثانیه نشان می‌دهد که ضخامت ناحیه جریان برگشتی،



شکل ۷. تغییرات فشار بر حسب زمان در نقطه  $B$  برای جریان روغن و آب در جنس‌های مختلف لوله

Figure 7. Pressure variation versus time at point B for oil and water flow obtained for different pipe materials

جدول ۴. فشار بیشینه در لوله‌های با جنس‌های مختلف

Table 4: Maximum pressure in pipes of different materials

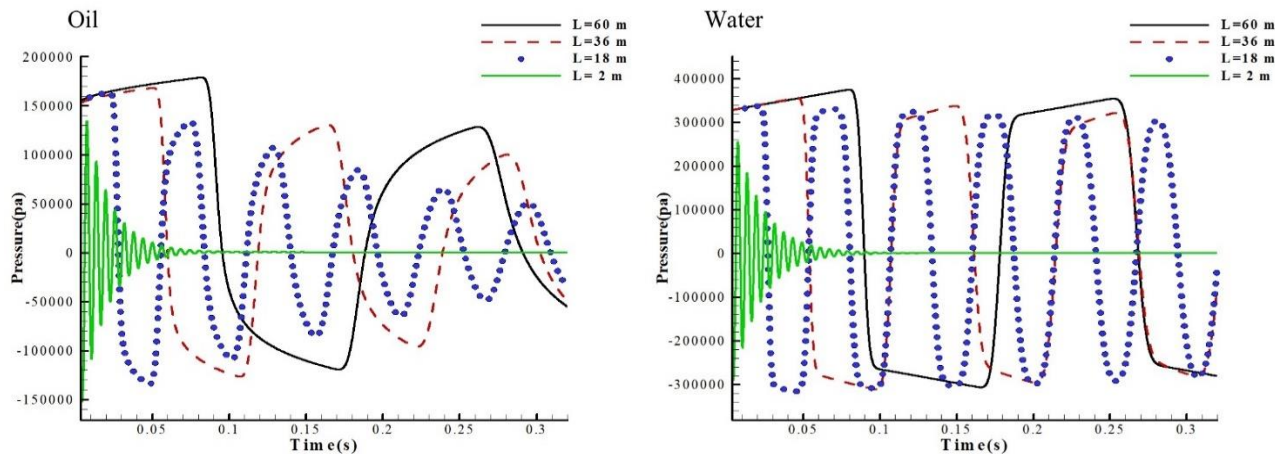
جنس لوله	مدول الاستیسیته (GPa)	فشار بیشینه در جریان روغن (Pa)	درصد تغییر نسبت به لوله مسی در جریان آب	فشار بیشینه در لوله مسی در جریان آب (Pa)	درصد تغییر نسبت به لوله مسی در جریان آب
مس	۱۱۷	۱۷۶۶۴۹/۶	-	۳۵۵۹۳۰/۵	-
بتن	۱۷	۱۴۲۳۱۹/۶	۲۰	۲۸۰۴۵۰/۸	۲۱/۲
پیویسی	۰/۸	۸۱۳۱۶/۵	۵۳/۹	۱۵۳۹۱۲/۹	۵۶/۵

نیروی حاصل از ضربه قوچ و کاهش هد فشاری سیستم می‌باشد. شدت ضربه قوچ در لوله‌های دیگر به دلیل بالاتر بودن مدول الاستیسیته آنها نسبت به پیویسی بیشتر است. سرعت انتشار موج نیز در لوله با جنس پیویسی به مراتب کمتر از لوله‌های دیگر است. با دقت در جدول و نمودارهای این قسمت و مقایسه نتایج به دست آمده از جریان آب و روغن می‌توان دریافت که تأثیر جنس لوله بر شدت ضربه قوچ، در جریان آب نسبت به جریان روغن بیشتر است. به این ترتیب با افزایش عدد رینولدز، تأثیر جنس لوله بر شدت ضربه قوچ آشکارتر می‌شود.

افزایش هد فشاری ناشی از ضربه قوچ با افزایش مدول الاستیسیته لوله، با درنظر گرفتن روابط تئوری (۱) و (۸) نیز قابل تشخیص است. ولی استفاده از این روابط نشان می‌دهد که با کاهش مدول الاستیسیته از ۱۱۷ به ۰/۸ گیگاپاسکال، حداقل فشار در جریان روغن به میزان

تغییرات فشار بر حسب زمان برای جریان روغن و آب در انتهای لوله، در شکل ۷ نشان داده شده است. با توجه به اینکه نتایج نتایج قسمت‌های قبل نشان داد حداقل فشار در محل شیر به وجود می‌آید، تغییرات فشار در انتهای لوله نمایش داده شده است. شکل ۷ نشان می‌دهد که با تغییر جنس لوله، شدت ضربه قوچ و سرعت انتشار آن تغییر زیادی می‌کنند. جدول ۴ نشان‌دهنده مقدار دقیق فشار بیشینه لوله‌های مختلف می‌باشد. در جریان روغن مقدار فشار بیشینه در لوله با جنس پیویسی تقریباً ۵۴ درصد کمتر از فشار بیشینه در لوله مسی است. در جریان آب مقدار فشار بیشینه در لوله با جنس پیویسی تقریباً ۵۷ درصد کمتر از فشار بیشینه در لوله مسی است.

نتایج فوق نشان می‌دهند که لوله با جنس پیویسی می‌تواند مقدار نوسانات حاصل از ضربه قوچ را تا مقدار زیادی خنثی کند. مدول الاستیسیته کم در لوله‌های پیویسی سبب توانایی بالای دفع



شکل ۸. تغییرات فشار بر حسب زمان در نقطه  $B$  برای جریان روغن و آب در طول لوله‌های مختلف

Figure 8. Pressure variation versus time at point  $B$  for oil and water flow obtained for different pipe lengths

جدول ۵. فشار بیشینه در لوله‌های با طول‌های مختلف

Table 5: Maximum pressure in pipes of different lengths

طول لوله	فشار بیشینه در جریان روغن	فشار بیشینه در جریان آب	درصد تغییر نسبت به لوله با طول ۲ متر در جریان آب	درصد تغییر نسبت به لوله با طول ۲ متر در جریان روغن
۶۰ متر	۱۷۸۸۴۵	۳۷۴۷۴۳	۱۷/۳	۱۸/۳
۳۶ متر	۱۷۶۶۴۹	۳۵۵۹۳۰	۱۶/۲	۱۴
۱۸ متر	۱۶۳۸۴۸	۳۳۷۴۹۷	۹/۷	۹/۳
۲ متر	۱۴۷۹۶۳	۳۰۵۹۴۵	-	-

ساده‌سازی‌های صورت‌گرفته در استخراج روابط تئوری است.

## ۲-۷ تأثیر طول لوله

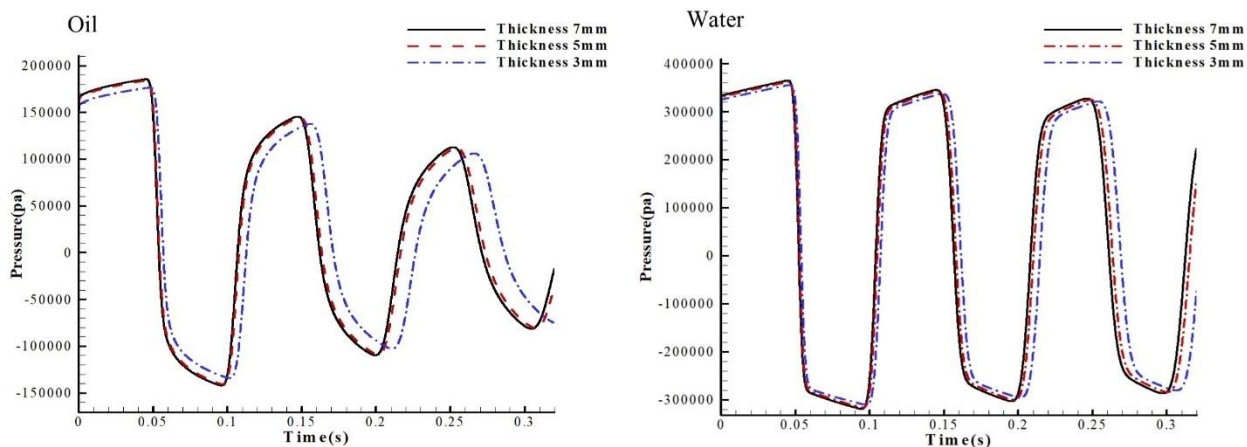
جهت مطالعه‌ی اثر طول لوله بر شدت ضربه قوچ، شبیه‌سازی ضربه قوچ در چند طول لوله مختلف و در شرایط عملکردی یکسان انجام شده‌است. تغییرات فشار بر حسب زمان در نقطه انتهایی لوله در طول لوله‌های مختلف، در شکل ۸ نشان داده شده است.

شکل ۸ نشان می‌دهد که طول لوله هم بر شدت ضربه قوچ و هم بر سرعت انتشار آن موثر است. با افزایش طول لوله، شدت ضربه قوچ افزایش یافته است. فرکانس نوسانات فشار در لوله کوتاه‌تر، بیشتر است و در زمان بسیار کمتری نوسانات فشار از بین می‌رود. به طوری‌که در لوله با طول ۲ متر، بعد از زمان ۰/۱ ثانیه تقریباً فشار نوسانی ای وجود ندارد و در مقایسه با طول‌های دیگر نشان داده شده در شکل ۸،

۷۶ درصد و در جریان آب ۷۸ درصد افزایش می‌یابد. این نتایج با

نتایج شبیه‌سازی بیش از ۴۰ درصد اختلاف دارد.

تأثیر جنس لوله بر شدت ضربه قوچ، توسط محققان دیگر نیز بررسی شده است. در مرجع [۱۳] مدل‌سازی ضربه قوچ با استفاده از روش مشخصه‌ها نشان داده است که در اثر کاهش مدول الاستیسیته لوله و ثابت‌ماندن دیگر شرایط عملکردی، شدت ضربه قوچ کاهش می‌یابد. در این تحقیق با کاهش مدول الاستیسیته از ۲۱۰ به ۳/۳ گیگاپاسکال، شدت ضربه قوچ ۸۶ درصد کاهش یافته است. در صورتیکه استفاده از روابط تئوری نشان می‌دهد که تغییرات ذکر شده در مدول الاستیسیته، ضربه قوچ را ۵۸ درصد کاهش خواهد داد. علت اختلاف بین نتایج روابط تئوری با نتایج شبیه‌سازی حاضر و مرجع [۱۳] در پیش‌بینی تأثیر مدول الاستیسیته بر شدت ضربه قوچ،



شکل ۹. تغییرات فشار بر حسب زمان در نقطه B برای جریان روغن و آب در ضخامت‌های مختلف لوله

Figure 9. Pressure variation versus time at point B for oil and water flow obtained for different pipe thicknesses

با ضخامت ۳، ۵ و ۷ میلیمتر مدل‌سازی شدند و ضربه قوچ در آنها مورد بررسی قرار گرفت. تغییرات فشار بر حسب زمان برای جریان روغن و آب در انتهای لوله، در شکل ۹ نشان داده شده است. شکل ۹ نشان می‌دهد که در لوله با ضخامت ۳ میلیمتر، کمترین افزایش فشار و در لوله با ضخامت ۷ میلیمتر بیشترین افزایش فشار ایجاد شده است. همچنین سرعت انتشار موج فشاری و دوره تناوب تغییرات فشار نیز تابع ضخامت لوله است. دوره تناوب در لوله‌های ضخیم‌تر، کمتر و سرعت انتشار موج تا حدودی بیشتر است.

مقایسه نتایج در جریان آب و روغن نشان می‌دهد که میزان تغییرات شدت ضربه قوچ در اثر افزایش ضخامت لوله، در جریان روغن بیشتر است. به طوریکه حداکثر فشار ایجاد شده در جریان روغن از مقدار ۱۷۶۶۴۹ پاسکال در لوله با ضخامت ۳ میلیمتر، به مقدار ۱۸۵۵۸۵ پاسکال در ضخامت ۷ میلیمتر افزایش یافته است. به عبارتی در این افزایش ضخامت، حداکثر فشار به میزان ۵ درصد افزایش پیدا کرده است. در حالیکه در جریان آب حداکثر فشار ایجاد شده از مقدار ۳۵۵۹۳۰ پاسکال در ضخامت لوله ۳ میلیمتر، به مقدار ۳۶۵۱۴۳ پاسکال در ضخامت ۷ میلیمتر افزایش یافته است. به عبارتی در این افزایش ضخامت، حداکثر فشار به میزان ۲/۵ درصد افزایش پیدا کرده است. افزایش هد فشاری ناشی از ضربه قوچ در اثر افزایش ضخامت لوله، با در نظر گرفتن روابط تئوری (۱) و (۸) نیز قابل تشخیص است. استفاده از این روابط نشان می‌دهد که با افزایش

در زمان بسیار کوتاهی نوسانات فشار از بین رفته است. مقادیر فشار بیشینه در لوله‌های با طول مختلف در دو جریان روغن و آب در جدول ۵ آورده شده است.

نتایج این قسمت نشان می‌دهند که با کاهش طول لوله از ۶۰ متر به ۲ متر، مقدار فشار بیشینه در جریان روغن ۱۷ درصد و در جریان آب ۱۸ درصد کاهش یافته است. بر اساس روابط تئوری (۱) و (۸) حداکثر فشار ایجاد شده در اثر ضربه قوچ، تابع طول لوله نیست. اما شبیه‌سازی انجام شده نشان می‌دهد که هر چقدر طول لوله کمتر می‌شود، مقدار حداکثر فشار کاهش یافته و نوسانات ناشی از ضربه قوچ سریعتر از بین می‌رود. زیرا با کاهش طول لوله، فرکانس نوسانات فشار افزایش یافته و رفت و برگشت موج و استهلاک موج در اثر تنش برشی سریعتر اتفاق می‌افتد.

تأثیر طول لوله بر شدت ضربه قوچ، در دو تحقیق دیگر نیز بررسی شده است. در مرجع [۵] ضربه قوچ در دو لوله با طول‌های مختلف به صورت آزمایشگاهی بررسی شده است. نتایج این آزمایش‌ها نیز نشان داده که با کاهش طول لوله شدت ضربه قوچ کاهش می‌یابد. در مرجع [۱۹] نیز مدل‌سازی ضربه قوچ با استفاده از روش مشخصه‌ها همین تأثیر طول لوله بر شدت ضربه قوچ را نشان داده است.

### ۳- تأثیر ضخامت لوله

به منظور بررسی تأثیر ضخامت لوله بر شدت ضربه قوچ، لوله‌هایی

الزامی به نظر می‌رسد.

• بررسی تغییرات فشار بر حسب زمان در مقاطع مختلف لوله نشان داد که فشار حداکثر و حداقل در قسمت انتهایی لوله یعنی در محل شیر ایجاد می‌شود. بنابراین در طراحی خطوط لوله باید توجه داشت که قسمت قبل از شیر در ناحیه انتهایی لوله، ناحیه بحرانی از نظر شدت ضربه قوچ است. در قسمت‌های دیگر لوله به دلیل لزجت سیال و تأثیرات تنفس برشی، مقدار نوسانات ناشی از ضربه قوچ کاهش می‌یابد. هر چه لزجت سیال بیشتر باشد و عدد رینولذ کوچکتر باشد، تفاوت فشار ناشی از ضربه قوچ در مقاطع مختلف لوله و در زمان‌های مختلف بیشتر می‌شود. به طوریکه در جریان آب در چندین دوره تناوب، شکل مربعی پیک‌های ایجادشده در نمودار توزیع فشار بر حسب زمان، حفظ شده و دامنه پاسخ ثابت می‌ماند که نشان‌دهنده استهلاک و افت انرژی کم در سیستم است.

کانتور سرعت محوری در زمان‌های مختلف دو ناحیه با رفتار متفاوت را نشان داد. ناحیه مجاور جداره لوله و ناحیه محور لوله. در ناحیه مجاور لوله تأثیرات لزجت سیال غالب بوده، گرادیان‌های سرعت بزرگتر است و تغییرات سرعت سریعتر رخ می‌دهد. در حالیکه ناحیه محور لوله تحت تأثیر نیروهای اینرسی سیال است و تمایل دارد الگوی جریان حالت پایدار خود را حفظ کند. مقایسه کانتورها در جریان آب و روغن نشان داد که روند کیفی رفتار دو سیال در طی زمان مشابه است، با این تفاوت که با افزایش عدد رینولذ در جریان آب، ناحیه محور لوله بسیار بزرگتر است و جریان برگشتی فقط در یک ناحیه کوچک، نزدیک دیواره رخ می‌دهد. زیرا در جریان آب تأثیرات اینرسی سیال به دلیل اغتشاشات جریان افزایش یافته است.

بررسی تأثیر جنس لوله بر شدت ضربه قوچ نشان داد شدت ضربه قوچ در لوله مسی بیشتر از لوله بتی و در لوله بتی بیشتر از لوله پلاستیکی است. فرکانس نوسانات فشار نیز در لوله مسی بیشترین و در لوله پی‌وی‌سی کمترین مقدار را دارد. مقدار فشار بیشینه در جریان آب و در لوله با جنس پی‌وی‌سی به میزان ۵۷ درصد کمتر از فشار بیشینه در لوله مسی است. به طور کلی با کاهش مدول الاستیسیته، شدت ضربه قوچ نیز کاهش می‌یابد. تأثیر جنس لوله بر شدت ضربه قوچ، در جریان آب نسبت به جریان روغن بیشتر است. بنابراین تأثیر جنس لوله بر شدت ضربه قوچ، با افزایش عدد رینولذ، بیشتر می‌شود. این نتایج نشان می‌دهد که در انتخاب جنس لوله، طراح باید به تأثیر

ضخامت لوله از ۳ به ۷ میلیمتر، حداکثر فشار در جریان روغن به میزان ۳/۲ درصد و در جریان آب ۳/۸ درصد افزایش می‌یابد. این نتایج با نتایج شبیه‌سازی بیش از ۳۰ درصد اختلاف دارد. همچنین برخلاف نتایج شبیه‌سازی، بر اساس تحلیل تئوری ژوکوفسکی در رابطه (۱)، میزان تغییرات شدت ضربه قوچ در اثر افزایش ضخامت لوله، در جریان آب بیشتر است. با توجه به ساده‌سازی‌های صورت‌گرفته در استخراج این روابط تئوری و همچنین با توجه به دقت قابل قبول نتایج شبیه‌سازی در محاسبه ضربه قوچ در حالت مبنا (که در قسمت صحبت‌سنگی بیان شد) می‌توان گفت بررسی دقیق تأثیر ضخامت لوله بر شدت ضربه قوچ از طریق شبیه‌سازی عددی امکان‌پذیر است. بر اساس اطلاع نویسندگان در تحقیقات منتشرشده در زمینه ضربه قوچ، تا به حال تأثیر ضخامت لوله بر شدت ضربه قوچ بررسی نشده است.

## ۸-نتیجه‌گیری

در این مقاله پدیده ضربه قوچ ناشی از بستن ناگهانی شیر در یک خط لوله به صورت عددی شبیه‌سازی شد. شبیه‌سازی برای یک نوع روغن با لزجت زیاد و برای آب انجام گردید. رژیم اولیه جریان آب، آشفته و در جریان روغن، آرام بوده است. جهت شبیه‌سازی ضربه قوچ، معادلات فیزیکی حاکم بر سیستم با لحاظ‌کردن لزجت و تراکم پذیری سیالات و همچنین خاصیت کشسانی لوله، مد نظر قرار گرفت. مجموعه معادلات دیفرانسیلی حاکم بر مسئله با روش حجم محدود و با استفاده از نرم افزار انسیس-فلوئنت حل شد. همچنین پدیده ضربه قوچ تجزیه و تحلیل شد و بر اساس نتایج شبیه‌سازی، رفتار سیال در طول زمان در چند دوره تناوب انتشار ضربه قوچ به صورت دقیق بررسی شد. به علاوه مطالعه پارامتری صورت گرفت و تأثیر پارامترهای مختلف بر شدت ضربه قوچ مطالعه شد. خلاصه نتایج حاصل از مطالعه صورت گرفته عبارتند از:

- مقایسه نتایج شبیه‌سازی سه‌بعدی با نتایج آزمایشگاهی نشان داد هم برای جریان آب و هم برای جریان روغن، تطابق بسیار خوبی میان نتایج شبیه‌سازی سه‌بعدی و نتایج آزمایشگاهی در زمان‌های مختلف وجود دارد. در صورتیکه شبیه‌سازی دو بعدی تقارن محوری دقت بسیار کمتری دارد. اختلاف بین نتایج شبیه‌سازی دو بعدی و سه‌بعدی با نتایج آزمایشگاهی، با افزایش عدد رینولذ افزایش می‌یابد. بنابراین در جریان مغذو ش شبیه‌سازی ضربه قوچ به صورت سه بعدی

قوج ارائه می‌دهد و می‌توان از آن به عنوان یک روش مناسب جهت محاسبه مقادیر فشارهای حداکثر و حداقل بهره برد. با شبیه‌سازی ضربه قوج می‌توان رفتار سیال را در طول زمان بررسی نموده و مقادیر پارامترهای عملکردی همچون سرعت و فشار را در هر نقطه از جریان در طی زمان محاسبه کرد. همچنین می‌توان تأثیر پارامترهای مختلف را بر ضربه قوج مورد بررسی قرار داده و بهترین انتخاب را برای پارامترهای مختلف در جهت کاهش تأثیرات مخرب ضربه قوج انجام داد.

جنس لوله بر شدت ضربه قوج ایجادشده نیز توجه داشته باشد و تا حد ممکن لوله‌هایی با مدول الاستیسیته کمتر را انتخاب کند. تأثیر طول لوله بر شدت ضربه قوج بررسی شده و نتایج نشان داد با کاهش طول لوله، شدت ضربه قوج کاهش یافته و نوسانات فشار در مدت زمان کمتری از بین می‌رود. به طوریکه با کاهش طول لوله از ۶۰ متر به ۱۸ متر، مقدار فشار بیشینه در جریان آب ۱۱ درصد کاهش می‌یابد. تأثیر طول لوله بر شدت ضربه قوج، با افزایش عدد رینولدز بیشتر می‌شود. نتایج این بررسی می‌تواند تأثیر بسیار زیادی در کنترل ضربه قوج داشته باشد. زیرا با انتخاب طول لوله‌های کوتاه‌تر و درنظرگرفتن محل مناسب برای نصب شیرآلات، می‌توان شدت ضربه قوج را تا حدود زیادی کاهش داد و از این طریق هزینه‌های اولیه (با کاهش ضخامت مورد نیاز لوله در اثر کاهش فشار حداکثر سیستم) و هزینه‌های عملکردی سیستم را کم کرد.

تأثیر ضخامت لوله بر شدت ضربه قوج بررسی شده و نتایج نشان داد که با افزایش ضخامت لوله، شدت ضربه قوج افزایش می‌یابد. همچنین سرعت انتشار موج فشاری و دوره تناوب تعییرات فشار نیز تابع ضخامت لوله بوده و دوره تناوب در لوله‌های ضخیم‌تر، کمتر و سرعت انتشار موج تا حدودی بیشتر است. افزایش ضخامت از ۳ میلیمتر به ۷ میلیمتر، حداکثر فشار را در جریان روغن به میزان ۵ درصد افزایش داد. نتایج به دست‌آمده در این قسمت، در طراحی خطوط لوله در جریان‌های گذرا اهمیت به سزاوی دارد. در جریان پایدار ضخامت لوله بر مبنای حداکثر فشار جریان داخل لوله یا فشار طراحی محاسبه می‌شود. برای تعیین ضخامت لوله در جریان‌های گذرا، علاوه بر درنظرگرفتن فشار جریان در حالت پایدار، لازم است نوسانات فشار حاصل از ضربه قوج احتمالی نیز لحاظ گردد. برخی طراحان برای افزایش ضربی اطمینان، مقدار ضخامت لوله را بیشتر از مقدار محاسبه شده بر اساس استاندردهای طراحی در نظر می‌گیرند. بر اساس نتایج به دست‌آمده در این تحقیق، انتخاب ضخامت‌های بیشتر از حد نیاز، شدت ضربه قوج را مجدداً نسبت به محاسبات اولیه افزایش داده و می‌تواند بر عملکرد سیستم تأثیر منفی بگذارد، به طوریکه بر خلاف انتظار با افزایش ضخامت لوله، لوله در فشارهای پایین‌تری آسیب ببیند.

به این ترتیب مشاهده می‌شود که شبیه‌سازی ضربه قوج ابزار مناسبی را جهت تجزیه و تحلیل جریان گذرا حاصل از ضربه

### فهرست علائم

#### علائم انگلیسی

سرعت موج،	$s/m$	$a$
قطر لوله،	$m$	$D$
مدول الاستیسیته،	$N/m^2$	$E$
ضخامت لوله،	$m$	$e$
هد فشاری	$m$	$H$
مدول بالک سیال،	$N/m^2$	$K$
انرژی جنبشی اغتشاش،	$s^2/m^2$	$k$
طول لوله،	$m$	$L$
فشار،	$N/m^2$	$P$
دوره تناوب موج فشاری،	$s$	$T$
زمان،	$s$	$t$
مولفه‌های سرعت سیال،	$m/s$	$u_i$
سرعت متوسط ،	$m/s$	$V$

#### علائم یونانی

چگالی،	$kg/m^3$	$\rho$
ضریب لزجت دینامیکی،	$N.s/m^2$	$\mu$
ضریب لزجت ثانویه،	$N.s/m^2$	$\lambda$
نرخ اتلاف اغتشاش،	$m^2/s^3$	$\epsilon$

### مراجع

- [1] M. Kahrom, Water processing and transmission systems, 4<sup>th</sup> Ed, Ferdowsi University of Mashhad, (2002) (in Persian).
- [2] B. B. Sharp, D. B. Sharp, Water Hammer: Practical Solutions, 1<sup>st</sup> Ed., Elsevier Science, (1996).
- [3] F.M. Wood, History of Water Hammer, 1<sup>st</sup> Ed, Queen's University at Kingston, Ontario, (1970).

- [12]Y. Hassanzadeh, N. Kardan, M. Hassanzadeh, J. Zamanian, Comparison of the Controlling Methods of the Maximum and Minimum Pressures Resulting from Water Hammer Phenomenon in High Pressure Pumping Stations, Journal of Water and Soil Knowledge, 2016 (In Persian).
- [13]M. Kandil, A.M. Kamal, T.A. El-Sayed, Effect of Pipes materials on Water Hammer, International Journal of Pressure Vessels and Piping, 179 (2019) .103996
- [14]J. Fernández-Pato, P. García-Navarro, Finite volume simulation of unsteady water pipe flow, Drinking Water Engineering and Science, 2(7) (2014) 92–83.
- [15]U. Naik, D. S. Bhat, Water Hammering Effects in Pipe System and Dynamic Stress Prediction, International Journal of Emerging Research in Management &Technology, 4 (2015) 9359-2278.
- [16]C. Wang, H. Nilsson, J. Yang, O. Petit, 1D–3D Coupling for Hydraulic System Transient Simulations, Computer Physics Communications, 210 (2017) 9–1.
- [17]I. G. Currie, Fundamental Mechanics of Fluids, 4<sup>th</sup> Ed., CRC Press Book, (2012).
- [18]H. Versteeg, W. Malalasekera, An Introduction to Computational Fluid Dynamics, The Finite Volume Method, 2<sup>nd</sup> Ed., Pearson, (2007).
- [19]F. Salmas, B. Oghat, Sensitivity Analysis for Water Hammer Problem in Pipeline, Iranica Journal of Energy & Environment, 2(5) ( 2014) 131-124.
- [4]E. L. Holmboe, W. T. Rouleau, The Effect of Viscous Shear on Transients in Liquid Lines, Journal of Basic Engineering, 1(89) (1967) 180-174.
- [5]T. W. Choon, L. K. Aik, L. E. Aik, T. T. Hin, Investigation of Water Hammer Effect Through Pipeline System, International Journal on Advanced Science, Engineering and Information Technology, 3(2) (2012) 53-48.
- [6]A. Kodura, An Analysis of the Impact of Valve Closure Time on the Course of Water Hammer, Archives of Hydro-Engineering and Environmental Mechanics, 1(63) (2016) 45–35.
- [7]E. B. Wylie, V. L. Streeter, S. Lisheng, Fluid Transient in Systems, 1<sup>st</sup> Ed., Pearson, (1993).
- [8]M. H. Chaudhry, Applied Hydraulic Transients, 3<sup>rd</sup> Ed., Springer-Verlag, New York, (1987).
- [9]A. Bergant, A. S. Tijsseling, J. P. Vítkovský, D. I. C. Covas, A. R. Simpson, M. F. Lambert, Parameters affecting water-hammer wave attenuation, shape and timing-Part 1: Mathematical tools, Journal of Hydraulic Research, 3(46) (2008) 381–373.
- [10]M. Rohani, M. H. Afshar, Simulation of transient flow caused by pump failure: Point-Implicit Method of Characteristics, Annals of Nuclear Energy, 12(37) (2010) 1750–1742.
- [11]C. Wang, J.-D. Yang, Water Hammer Simulation Using Explicit–Implicit Coupling Methods, Journal of Hydraulic Engineering, 4(141) (2015) 11-1-04014086.

چگونه به این مقاله ارجاع دهیم

R. Mohammadi, M. Aghaei, Numerical simulation of water hammer in various fluids due to a fast valve closure , Amirkabir J. Mech Eng., 53(7) (2021) 4171-4188.

DOI: [10.22060/mej.2020.18624.6865](https://doi.org/10.22060/mej.2020.18624.6865)



